

ПИННИНГОВАЯ СТРУКТУРА РАЗМЕРНО-ФОНОННОГО РЕЗОНАНСА В КВАНТОВЫХ НИТКАХ

* Самаркандский филиал Ташкентского университета информационных технологий,
ул. Шохрух мирзо, 47^А, Самарканд, 140104, Республика Узбекистан, eshkuvat@samdu.uz

** Самаркандский государственный университет им. А. Навои,
Университетский бульвар, 15, г. Самарканд, 140104, Республика Узбекистан

Введение

Оптические методы на протяжении последних десятилетий широко используются при исследовании электронных свойств систем пониженной размерности [1–2].

В связи с этим представляется актуальным исследование влияния оптических фононов на свойства электронов в квантованных полупроводниковых нитках в случае, когда электрон-фононное взаимодействие сильно искажает частотную зависимость поглощения. Одним из таких эффектов является размерно-фононный резонанс [3–4], при котором поглощение света обусловлено переходами электрона между размерно-квантованными уровнями в квантованных полупроводниковых нитках с участием ЛО-фонона.

Если разность энергии между размерно-квантованными уровнями, участвующими в оптическом переходе, близка к энергии оптического ЛО-фонона, то возникает резонансная связь между размерно-квантованными уровнями, которая может привести к пиннинговым эффектам [4].

В настоящей работе развивается теория формы линии размерно-фононного резонанса в размерно-квантованных полупроводниковых нитках при выполнении указанных выше условий.

Постановка задачи и основные соотношения

Ниже рассматриваются размерно-квантованные нитки с длиной L и площадью поперечного сечения $a \times d$, где a – ширина вдоль оси Y , d – ширина вдоль оси Z . Полупроводник предполагается кубической сингонии, закон дисперсии электронов – параболическим. Температура и концентрация электронов предполагаются достаточно низкими, так что заселен только нижний размерно-квантованный уровень, а оптические ЛО-фононы не возбуждены.

В рассматриваемом приближении волновая функция и энергия электрона имеют вид

$$\Psi(x, y, z) = \left(\frac{4}{adL}\right)^{1/2} e^{ik_x x} \sin\left(\frac{\pi n}{a} y\right) \sin\left(\frac{\pi m}{d} z\right), \quad (1)$$

$$E_\gamma(n, m, k_x) = \frac{\pi^2 \hbar^2}{2m^* a^2} n^2 + \frac{\pi^2 \hbar^2}{2m^* d^2} m^2 + \frac{\hbar^2 k_x^2}{2m^*} = \hbar\omega_\gamma, \quad (2)$$

где m^* – эффективная масса электрона; m и n – целое число, нумерующее уровни размерного квантования в состоянии γ ; k_x – непрерывное квантовое число.

Взаимодействие электрона в размерно-квантованной полупроводниковой пленке с объемными ЛО-фононами описывается гамильтонианом

$$H_{\text{int}} = \sum_{\alpha\alpha'\bar{q}} \left[C_{\bar{q}} I_{\alpha\alpha'}(\bar{q}) \cdot b_{\bar{q}} + \text{э.с.} \right] \cdot a_{\alpha}^+ a_{\alpha'}; \quad (3)$$

$$C_{\bar{q}} = -i(\hbar\omega_0) \left[\frac{4\pi\alpha_0 l_0^3}{V} \right]^{1/2} (l_0 q)^{-1}, l_0 = \frac{\hbar}{(2m^* \omega_0)^{1/2}}; \quad (4)$$

$$I_{\alpha\alpha'}(\bar{q}) = \delta(k_{\alpha\alpha'} - k_{\alpha} + q_x) C_{\alpha\alpha'}(q_y) C_{\alpha\alpha'}(q_z). \quad (5)$$

Здесь ω_0 – частота оптического LO-фонона, $k_{x\alpha}$ – одномерный волновой вектор электрона (вдоль длины нитки) в состоянии α , q_x, q_y, q_z – проекции волнового вектора фонона \vec{q} на оси OX, OY и OZ соответственно, $b_{\vec{q}}^+, b_{\vec{q}}^-, a_{\alpha}^+, a_{\alpha}^-$ – фононные и электронные операторы рождения и уничтожения; α_0 – безразмерная константа электрон-фононного взаимодействия. $C_{\alpha\alpha'}(\vec{q})$ приведены в работе [5] и из-за громоздкости выражение не приводятся.

Для расчета поглощения воспользуемся методом, развитым в [6]. В случае, когда электромагнитная волна S -поляризации нормально падает (из области $z < 0$ в область $z > 0$, плоскость падения OXZ) на нитку, то для функции $\alpha(\omega, 0)$, определяющей частотную зависимость поглощения, получим

$$\alpha(\omega, 0) = \frac{8\pi e^2}{\sqrt{\varepsilon_\infty} m_0^2 c a L \hbar^2} \sum_{\alpha\gamma} |N_{\alpha\gamma}|^2 \operatorname{Re} \frac{-i n_\gamma |C_{\vec{q}}|^2 |I_{\alpha\delta}(\vec{q})|^2}{\omega_{\alpha\gamma} (\omega_{\alpha\gamma} + \omega_0) [S + i(\omega_{\delta\gamma} + \omega_0)]}; \quad (6)$$

$$|N_{\alpha\gamma}|^2 = \frac{32 n_\alpha^2 n_\gamma^2}{(n_\alpha^2 - n_\gamma^2)^2} [1 - (-1)^{n_\alpha + n_\gamma}], \quad S = -i\omega + \sigma, \quad \sigma \rightarrow +0. \quad (7)$$

Здесь ω, c – частота и скорость света в вакууме, m_0 – масса свободного электрона, ε_∞ – высокочастотная диэлектрическая постоянная полупроводника, n_γ – функция распределения электронов в состоянии γ . При выводе (6) учитывался простейший график* (рис. 1).

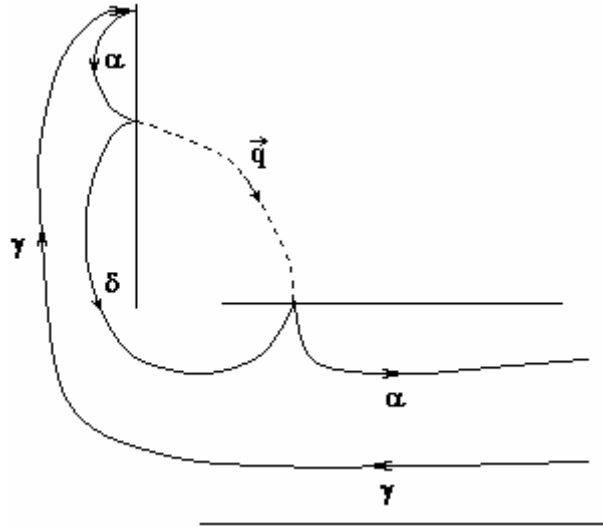


Рис.1. Простейший график угловой части, ответственный за размерно-фононное поглощение
Размерно-фононный резонанс

Рассмотрим поглощение электромагнитной волны, обусловленное переходами электрона в одномерную зону с $n = 2$ с одновременным испусканием LO-фонона, полагая, что $m = n_\gamma = 1$.

Переходя в (6) от суммирования по \vec{q} к интегрированию и интегрируя по q_y и q_z , получим

$$\frac{\alpha(\omega, 0)}{\alpha(0)} = \int_0^\infty n_1(t) dt \int_0^\infty du \ln [t^2 - 2tu + u^2] \delta(\Gamma + t^2 - u^2), \quad (8)$$

$$\alpha(0) = \frac{512\eta}{9\sqrt{\varepsilon_\infty}} \cdot \frac{e^2}{\hbar c} \frac{m^* \omega_0^2}{m_0^2 \Omega (\Omega + \omega_0)}, \quad \Omega = \frac{3\hbar\pi^2}{2m^* a^2}, \quad (9)$$

$$\Gamma = \frac{[\omega - \omega_0 - \Omega]}{\omega_0}. \quad (10)$$

При низких температурах $n_i(t)$ можно заменить ступенькой $n_i(t) = \theta(E_F - E_1 - \hbar\omega_0 t^2)$, где

* Здесь и в дальнейшем используются терминология и графическая техника, изложенная в [7].

$\theta(x)$ – функция Хевисайда, а $E_F - E_0 = \frac{\hbar^2 \pi^2 N_0^2}{32m^*}$.

Таким образом, интеграл (8) обрывается на $t_0 = \left[\frac{\hbar \pi^2 N_0^2}{32m^* \omega_0} \right]^{1/2}$, так что

$$\frac{\alpha(\omega, 0)}{\alpha(0)} = \int_0^{t_0} \frac{dt}{\sqrt{\Gamma + t^2}} \ln \left[\Gamma + 2t^2 - 2t\sqrt{\Gamma + t^2} \right], \quad \Gamma > 0, \quad (11)$$

$$\frac{\alpha(\omega, 0)}{\alpha(0)} = \int_{\sqrt{|\Gamma|}}^{t_0} \frac{2dt}{\sqrt{t^2 - |\Gamma|}} \ln \left[t - t\sqrt{1 - \frac{|\Gamma|}{t^2}} \right], \quad \Gamma < 0, \quad (12)$$

$\alpha(\omega, 0) = 0$, если $\sqrt{|\Gamma|} \geq t_0$. Используя асимптотическое разложение, подынтегральным выражением можно показать, что при $\Gamma \rightarrow 0$ поглощение содержит логарифмическую сингулярность, то есть

$$\frac{\alpha(\omega, 0)}{\alpha(0)} \sim \ln |\Gamma|. \quad (13)$$

Если $\Gamma \gg t^2$, то, как это следует из (11),

$$\frac{\alpha(\omega, 0)}{\alpha(0)} \cong \frac{t_0}{\Gamma}. \quad (14)$$

Резонансное электрон-фононное взаимодействие

Предположим, что $E_2 - E_1 \approx \hbar \omega_0$, а $\omega = 2\omega_0$. Тогда энергия электромагнитной волны расходуется перебросом электрона на верхний уровень и рождением LO-фонона. Поскольку расстояние между уровнями равно энергии фонона, то возникает резонансная связь между уровнями вследствие реального перехода электрона на нижний уровень с испусканием фонона. Это взаимодействие снимает вырождение уровней электрон-фононной системы (уровень $n = 2$ и уровень $n = 1$ плюс фонон), что ведет к появлению двух ветвей спектра. В этом случае простейший график (рис. 1), как видно из (13), логарифмически расходится на частоте $\omega = 2\omega_0$, что означает расходимости графиков более высокого порядка для угловой части. Суммирование ряда теории возмущений по электрон-фононному взаимодействию приводит, как обычно, к замене величины

$$\left[S + i(\omega_{\delta\gamma} + \omega_0) \right] \text{ на } \left[S + i(\omega_{\delta\gamma} + \omega_0) - W \right].$$

Как показано в [4], “уходные” члены кинетического уравнения малы, и поэтому их можно не учитывать.

а) Анализ ряда теории возмущений для функции W .

Функция W , определяющая поведение поглощения в области резонанса, представляется суммой неприводимых графиков, в которых фононные линии расположены на верхнем горизонтальном участке слева от внешней фононной линии (рис. 1).

В случае $\omega = 2\omega_0$ достаточно ограничиться простейшим графиком (рис.2,а).

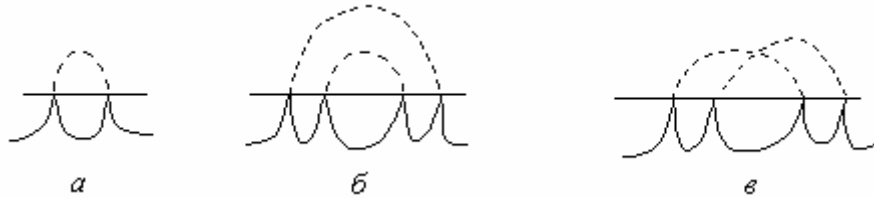


Рис.2. Графики, перенормирующие верхнюю электронную линию в угловой части

Ему соответствует

$$W_a = \sum_{\delta_1, \bar{q}_1} \frac{(i\hbar)^{-2} |C_{\bar{q}_1}|^2 |I_{\delta\delta_1}(\bar{q}_1)|^2}{S + i(\omega_{\delta_1\gamma} + 2\omega_0)}. \quad (15)$$

Используя выражение для матричного элемента, получим

$$W_a = -\frac{i\alpha_0\omega_0}{2\pi^2} \int_{-\infty}^{+\infty} d\vartheta \int_{-\infty}^{+\infty} dx \int_{-\infty}^{+\infty} dy \frac{|C_{21}(y)|^2 |C_{11}(x)|^2}{(u^2 - 2u\vartheta + \vartheta^2 + x^2 + y^2)} [\Gamma + \lambda + t^2 - \vartheta^2 + i\delta]^{-1}, \quad (16)$$

где $\lambda = \frac{[\Omega - \omega_0]}{\omega_0}$.

При вычислении интеграла по ϑ в (16) можно с точностью до членов порядка $\alpha_0^{1/3}$ пренебречь в множителе $(u^2 - 2u\vartheta + \vartheta^2 + x^2 + y^2)$ зависимостью от u и ϑ , после чего интеграл легко вычисляется и

$$W_a = -\frac{4\alpha_0\omega_0}{3} [\Gamma + \lambda + t^2]^{-1/2}. \quad (17)$$

б) Частотная зависимость поглощения.

Для получения частотной зависимости поглощения следует вместо $[S + i(\omega_{\delta\gamma} + \omega_0)]$ в (6) подставить $[S + i(\omega_{\delta\gamma} + \omega_0) - W]$. В результате получим

$$\frac{\alpha(\omega, 0)}{\alpha(0)} = \begin{cases} \frac{\pi}{\sqrt{f_1(\Gamma)(\Gamma + \eta^{2/3})}} & \text{при } -\eta^{2/3} \leq \Gamma \leq 0; \\ 0 & \text{при } \Gamma \leq -\eta^{2/3}; \\ \frac{\pi f_2(\Gamma)}{\left\{ \left(\Gamma - \frac{\eta^{2/3}}{2} \right)^2 + \frac{3}{4} \eta^{4/3} \right\}^{1/2}} & \text{при } \Gamma > 0, \end{cases} \quad (18)$$

$$\text{где } \eta = \frac{4\alpha_0}{3}, \quad f_1(\Gamma) = \frac{\Gamma^2 - \eta^{2/3}\Gamma + \eta^{4/3}}{\Gamma^2 + \eta\sqrt{-\Gamma}}, \quad f_2(\Gamma) = \left(\frac{\sqrt{\Gamma^4 + \eta^2\Gamma + \Gamma^2}}{2(\Gamma + \eta^{2/3})} \right)^{1/2}. \quad (19)$$

Из приведенных формул видно, что линия размерно-фононного резонанса расщепляется на два максимума, расположенных в точках $\Gamma_1 = -\eta^{2/3}$ и $\Gamma_2 = \frac{1}{2}\eta^{2/3}$, как в случае магнитооптического поглощения в объемном полупроводнике [8].

Эти два максимума соответствуют двум ветвям спектра электрон-фононной системы. Спектр определяется уравнением [8]:

$$\varepsilon + \frac{i\eta}{\sqrt{\varepsilon + \lambda}} = 0,$$

которое получено приравниванием нулю знаменателя $[S + i(\omega_{\delta\gamma} + \omega_0) - W]$ и заменой W на W_a .

Развитая выше теория предсказывает расщепление пика размерно-фононного резонанса в области частот $\omega = 2\omega_0$ на две компоненты, расстояние между которыми определяется резонансным электрон-фононным взаимодействием.

ЛИТЕРАТУРА

1. *Hang H., Koch S.W.* Quantum theory of the optical and electronic properties of semiconductors. World Scientific. 1993.
2. *Воробьев Л.Е., Ивченко Е.Л., Фирсов Д.А., Шалыгин В.А.* Оптические свойства наноструктур. Спб., Наука, 2002.
3. *Басс Ф., Матулис А.Ю.* Размерно-фононные скачки поглощения света в полупроводниковых пленках // ФТТ. 1970. Т.12. С. 2039–2043.

4. *Коровин Л.И., Эшпултов Б.Э.* Пиннинговая структура размерно-фононного резонанса в инверсионных слоях // ФТТ. 1981. Т. 23. № 10. С. 3056–3062.
5. *Ridley В.К.* Quantum Processes in Semiconductors. Second edition. Oxford. Clarendon. 1988.
6. *Коровин Л.И., Эшпултов Б.Э.* Межзонное магнитооптическое поглощение приповерхностным слоем полупроводника // ФТТ. 1979. Т. 21. С. 3703–3712.
7. *Константинов О.В., Перель В.И.* Графическая техника для вычисления кинетических величин // ЖЭТФ. 1960. Т. 39. С. 197–210.
8. *Коровин Л. И., Павлов С. Т.* О влиянии оптических фононов на межзонное магнитооптическое поглощение в полупроводниках // ЖЭТФ. 1967. 53. С. 1708–1718.

Поступила 21.11.07

Summary

The dimensionally-phonon resonances in dimensionally-quantum semiconductor wires are considered. It is supposed, that the absorption of light is caused by transitions electron between dimensionally-quantum sub bands in potential well with participation is long-wavelength phonon. The influence resonant electron-phonon of interaction on a spectrum one-dimensional electron in quantum wires is investigated. Is shown, that the spectrum contains two branches, and also the splitting of peak dimensionally-phonon resonance on two components, distance between is determined by resonant electron-phonon interaction.
